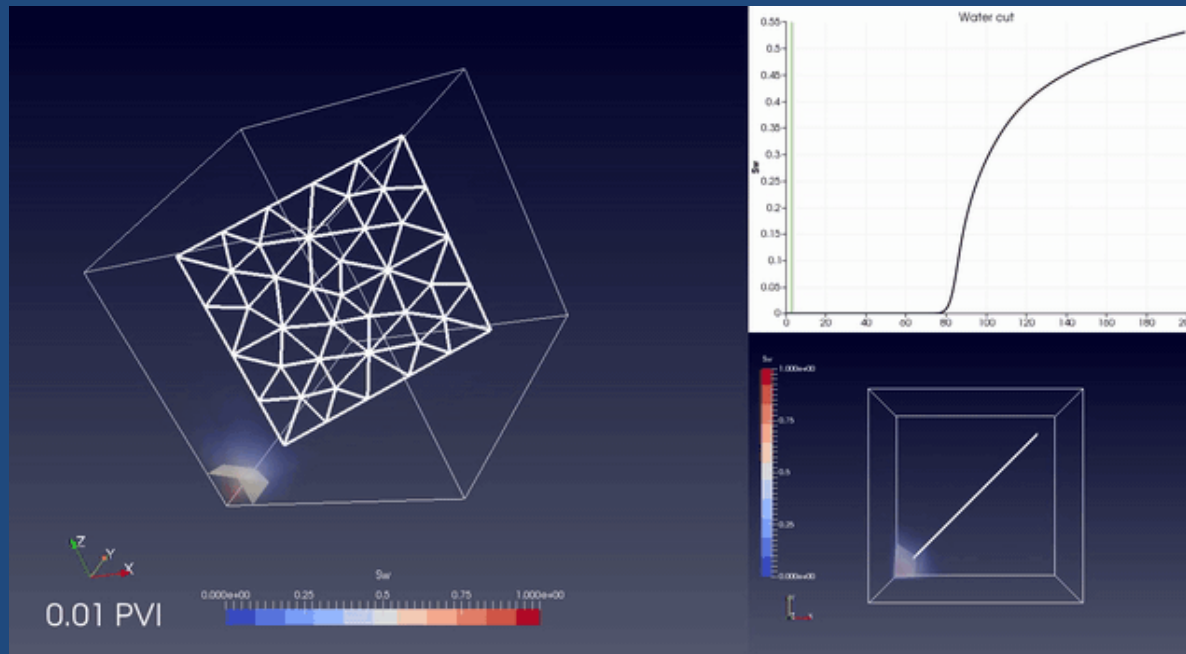


Séminaire du réseau

Données et Numérique



Mustapha Zakari

(3/12/2019)

Plan

- EXPLOR – Accélération de codes de calcul

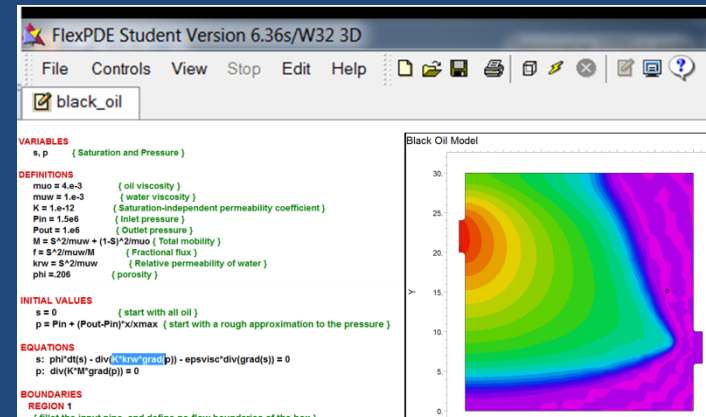
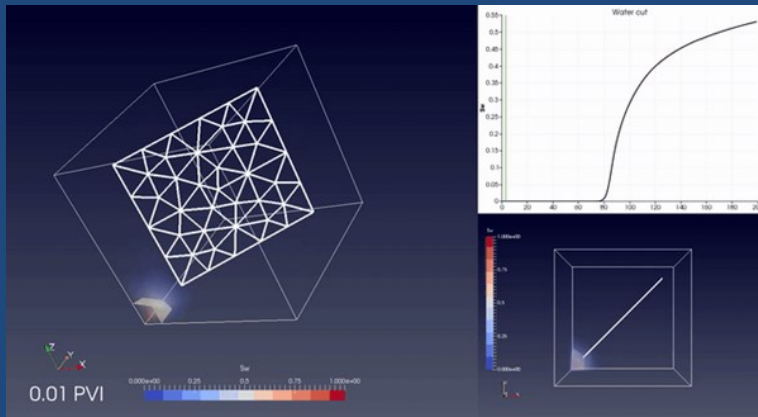
```
ozi63@vm-zjv41~ (sur geor-eg-per-l13) x
ozi63@vm-zjv41~: 80x24
zakari@geor-eg-per-l13:~$ ssh meso-explor
Last login: Fri Nov 29 21:59:47 2019 from 193.49.121.172

  Bienvenue au Mésocentre de l'Université de Lorraine

  ////////////////////////////////////////////////////////////////////
  Si des problèmes sont rencontrés, merci de soumettre vos
  requêtes à explor-support@univ-lorraine.fr
  ////////////////////////////////////////////////////////////////////

[ozi63@vm-zjv41 ~]$
```

- Modélisation d'écoulements



EXPLOR

Accélération de codes de calcul

- EXPLOR : 6356 coeurs
 - Système d'exploitation : CentOS 7.4
 - Ordonnanceur : SLURM 17.11.3
 - Gestionnaire Environnement : LMOD 7.4
- Parallélisation du calcul approché de π (Fortran 90 +MPI)

EXPLOR – Calcul parallèle de π

Code Fortran + MPI

```
ozi63@vm-zjv41:~/tests/mpif90 (sur geor-eg-per-l13) x
ozi63@vm-zjv41:~/tests/mpif90 97x28
program pi
  use mpi
  implicit none
  integer :: code,rang, nbprocs
  integer, parameter :: dp = kind(1.d0)
  integer, parameter :: li = selected_int_kind(15)
  integer(kind=li):: nbbloc,i,debut,fin
  real(kind=dp) :: largeur,somme,global,x

  call MPI_INIT(code)
  call MPI_COMM_RANK(MPI_COMM_WORLD,rang,code)
  call MPI_COMM_SIZE(MPI_COMM_WORLD,nbprocs,code)
  somme = 0._dp
  ! Nombre d'intervalles
  nbbloc = 3*1000*1000_li*100
  ! largeur des intervalles
  largeur = 1._dp / real(nbbloc,dp)
  debut = (rang*nbbloc)/nbprocs+1; fin = ((rang+1)*nbbloc)/nbprocs
  print "(i2,a,ill,a,ill,a,ill)", rang, " debut: ", debut, " fin: ", fin, " delta: ", fin-debut+1

  do i=debut, fin
    x = largeur*(i-0.5_dp)
    somme = somme + largeur*(4._dp / (1._dp + x*x))
  end do
  call MPI_REDUCE(somme, global, 1, MPI_DOUBLE_PRECISION, MPI_SUM, 0, MPI_COMM_WORLD,code)
  if (rang ==0) print *, "Pi =", global
  call MPI_FINALIZE(code)
end program
```

Méthode des rectangles

$$\pi = \int_0^1 \frac{4}{1+x^2} dx \approx \sum_{i=1}^n \frac{4}{1 + \left(\frac{i-0.5}{n}\right)^2}$$

EXPLOR – Calcul parallèle de π

Soumission + résultats

Fortran90 + MPI

```
ozi63@vm-zjv41:~/tests/mpif90 (sur geor-eg-per-l13)
ozi63@vm-zjv41:~/tests/mpif90 88x24
[oz63@vm-zjv41 mpif90]$ sbatch -N 1 -n 2 script2submit.sh
Submitted batch job 161986
[oz63@vm-zjv41 mpif90]$ tail submitted/test_161986.out
 0 debut:      1 fin:  150000000 delta:  150000000
 1 debut: 150000001 fin:  300000000 delta:  150000000
Pi =  3.1415926535893495

real    0m2.845s
user    0m5.110s
sys     0m0.042s

[oz63@vm-zjv41 mpif90]$
[oz63@vm-zjv41 mpif90]$ sbatch -N 1 -n 4 script2submit.sh
Submitted batch job 161987
[oz63@vm-zjv41 mpif90]$ tail submitted/test_161987.out
 0 debut:      1 fin:   75000000 delta:   75000000
 1 debut:   75000001 fin:  150000000 delta:   75000000
 3 debut:  225000001 fin:  300000000 delta:   75000000
 2 debut:  150000001 fin:  225000000 delta:   75000000
Pi =  3.1415926535895338

real    0m1.454s
user    0m5.137s
sys     0m0.067s

[oz63@vm-zjv41 mpif90]$
```

1 nœud, 2 processeurs

1 nœud, 4 processeurs

EXPLOR – Exemples d'utilisation

- Le mésocentre : 6356 coeurs
 - Système d'exploitation : CentOS 7.4
 - Ordonnanceur : SLURM 17.11.3
 - Gestionnaire Environnement : LMOD 7.4
- ✓ Parallélisation du calcul approché de π (Fortran 90 +MPI)
 - Code fortran
 - Code MPI
 - Link + compilation : [2procs:2,854s , 4procs:1,454s]
- Peut-on paralléliser des codes Python, Matlab ?
 - Parallélisation (Multithreading) du calcul approché de π :
 - Python + Multiprocessing
 - Matlab + PARallel FOR loops (parfor)

EXPLOR – Calcul parallèle de π

Code Python 3.6 + Multiprocessing

ozi63@vm-zjv41:~/tests/python (sur geor-eg-per-l13)

x

ozi63@vm-zjv41:~/tests/python 86x26

```
import multiprocessing as mp
nprocs = mp.cpu_count()
print(f"Number of CPU cores: {nprocs}")

nsteps = 10000000
dx = 1.0 / nsteps
pi = 0.0
```

Méthode des rectangles

$$\pi = \int_0^1 \frac{4}{1+x^2} dx \approx \sum_{i=0}^n \frac{4}{1 + \left(\frac{i + 0.5}{n}\right)^2}$$

```
def calc_partial_pi(rank, nprocs, nsteps, dx):
    partial_pi = 0.0
    for i in range(rank, nsteps, nprocs):
        x = (i + 0.5) * dx
        partial_pi += 4.0 / (1.0 + x * x)
    partial_pi *= dx
    return partial_pi
```

```
inputs = [(rank, nprocs, nsteps, dx) for rank in range(nprocs)]
```

```
#Create pool object !STARTS A PARALLEL ZONE!
```

```
pool = mp.Pool(processes=nprocs)
result = pool.starmap(calc_partial_pi, inputs)
pi = sum(result)
```

EXPLOR – Calcul parallèle de π

Résultats

Python + Multiprocessing (Multithreading)

```
ozi63@vm-zjv41:~/tests/python (sur geor-eg-per-l13) x
ozi63@vm-zjv41:~/tests/python 86x26
Sequential calculation
Sequential version
3.141592653589731
real 0m2.192s
user 0m2.169s
sys 0m0.011s
multiprocessing calculation
Number of CPU cores: 32
3.1415926535897842
real 0m0.228s
user 0m1.323s
sys 0m0.178s
```

1 nœud, 1 cœur

1 nœud, 32 cœurs

EXPLOR – Calcul parallèle de π

Code Matlab + Parfor

Matlab + Parfor

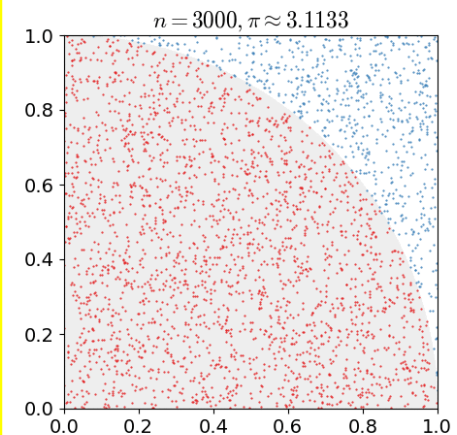
ozif63@vm-zjv41:~/tests/matlab (sur geor-eg-per-l13)

ozif63@vm-zjv41:~/tests/matlab 86x28

```
% Parallel Monte Carlo calculation of PI
%=====
parpool('local', str2num(getenv('SLURM_CPUS_ON_NODE')))
R = 1;
darts = 1e7;
count = 0;
tic

parfor i = 1:darts
    % Compute the X and Y coordinates of where the dart hit the
    % square using Uniform distribution.....
    x = R*rand(1);
    y = R*rand(1);
    if x^2 + y^2 <= R^2
        % Increment the count of darts that fell inside of the...
        % circle.....
        count = count + 1; % Count is a reduction variable.
    end
end
% Compute pi.....
myPI = 4*count/darts;

T = toc;
fprintf('The computed value of pi is %8.7f.n', myPI);
fprintf('The parallel Monte-Carlo method is executed in %8.2f seconds.n', T);
delete(gcf);
```



Wikipedia (30 000) darts)

Méthode Monte-Carlo

$$\pi = 4 \cdot \frac{\text{counts}}{\text{darts}}$$

EXPLOR – Calcul parallèle de π

Résultats

Matlab + Parfor

ozig63@vm-zjv41:~/tests/matlab (sur geor-eg-per-l13)

x



ozig63@vm-zjv41:~/tests/matlab 86x28

```
< M A T L A B (R) >  
Copyright 1984-2017 The MathWorks, Inc.  
R2017b (9.3.0.713579) 64-bit (glnxa64)  
September 14, 2017
```

connected to 1 workers.

1 nœud, 1 cœur

The computed value of pi is 3.1417856. The parallel Monte-Carlo method is executed in 14.88 seconds. Parallel pool using the 'local' profile is shutting down. message with properties:

```
< M A T L A B (R) >  
Copyright 1984-2017 The MathWorks, Inc.  
R2017b (9.3.0.713579) 64-bit (glnxa64)  
September 14, 2017
```

connected to 32 workers.

1 nœud, 32 cœurs

The computed value of pi is 3.1414208. The parallel Monte-Carlo method is executed in 0.92 seconds. Parallel pool using the 'local' profile is shutting down. message with properties:

EXPLOR – Exemples d'utilisation

Bilan

- ✓ Parallélisation du calcul approché de π (Fortran 90 +MPI)
 - Code fortran
 - Code MPI
 - Link + compilation : [2procs:2,854s ; facteur 1.96 ; 4procs:1,454s]
- ✓ Peut-on paralléliser des codes Python, Matlab ? OUI
 - Parallélisation (Multithreading) du calcul approché de π :
 - ✓ Python + Multiprocessing : [1c:2,192s ; facteur 9.61 ; 32c:0,228s]
 - ✓ Matlab + PARallel FOR loops (parfor) : [1c:14,88s ; facteur 16.2 ; 32c:0,92s]

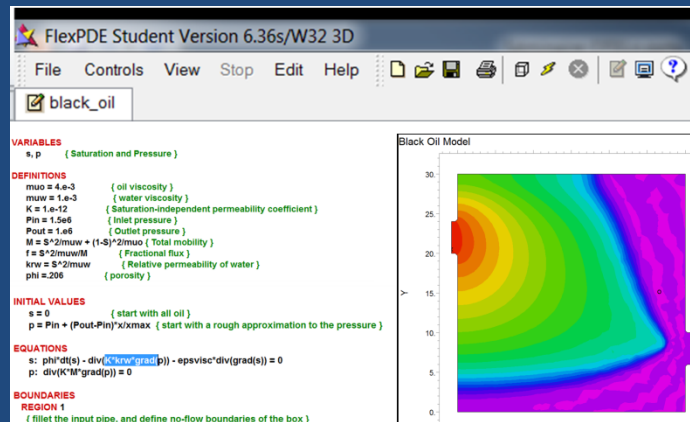
EXPLOR permet d'accélérer des codes Python et/ou Matlab

Plan

- EXPLOR – Exemples d'utilisation



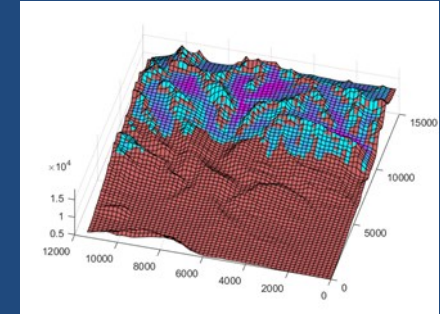
- Modélisation d'écoulements et extrapolations



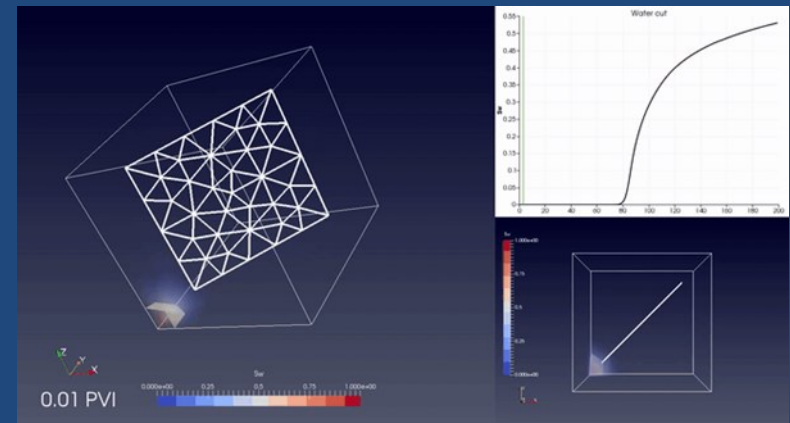
Modélisation d'écoulements

Extrapolations

- Ecoulements glaciaires
 - Equation du modèle
 - Discrétisation
 - Premiers Résultats



- Ecoulements diphasiques en milieux poreux fracturés
 - Equations du modèle
 - Discrétisation
 - Premiers Résultats



Ecoulements glaciaires

– Equation du modèle : Shallow Ice Approximation [Hutter 1983]

- Loi de conservation + loi visqueuse de Glen

$$\left\{ \begin{array}{l} \frac{\partial H}{\partial t} - \nabla \cdot \mathbf{q} = a \\ \mathbf{q} = D \nabla s \\ D = C H^{n+2} |\nabla s|^{n-1} \\ s = b + H \end{array} \right.$$

– Avec :

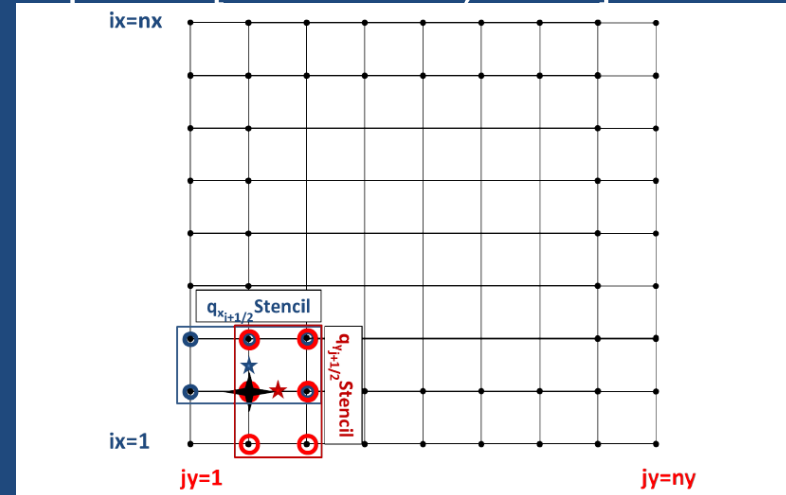
- H l'épaisseur de glace
- b et s le bedrock et la hauteur totale
- a le terme d'accumulation/ablation
- q le flux de glace et D le coefficient de diffusion
- C une constante fixant la loi d'écoulement

Ecoulements glaciaires

– Discrétisation : **Differences Finies** + Explicite [Hindmarsh, 1996]

$$\begin{cases} \frac{\partial H}{\partial t} - \nabla \cdot \mathbf{q} = a \\ \mathbf{q} = D \nabla s \\ D = CH^{n+2} |\nabla s|^{n-1} \\ s = b + H \end{cases}$$

$$H_{i,j}^{k+1} = H_{i,j}^k + \frac{\Delta t}{\Delta x} \left(q_{x_{i+\frac{1}{2}}}^k - q_{x_{i-\frac{1}{2}}}^k + q_{y_{j+\frac{1}{2}}}^k - q_{y_{j-\frac{1}{2}}}^k \right) + \Delta t \times a_{i,j}^k$$

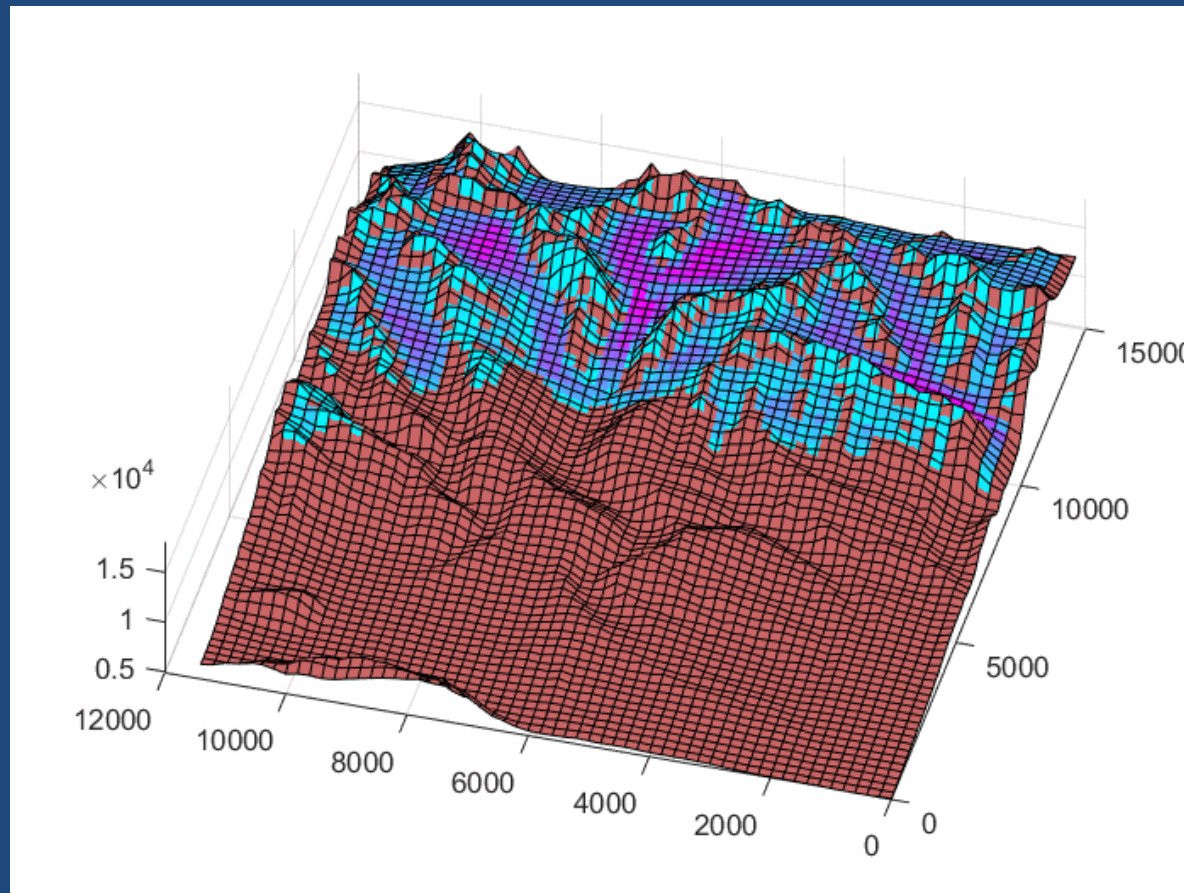


$$\begin{cases} q_{x_{i+\frac{1}{2}}} = C_{i,j} \left[\frac{H_i + H_{i+1}}{2} \right]^5 \left(\left(\frac{H_{i+1} - H_i}{\Delta x} \right)^2 + \left(\frac{H_{i,j+1} - H_{i,j-1} + H_{i+1,j+1} - H_{i+1,j-1}}{4\Delta y} \right)^2 \right) \left(\frac{H_{i+1} - H_i}{\Delta x} \right) \\ q_{x_{i-\frac{1}{2}}} = C_{i,j} \left[\frac{H_{i-1} + H_i}{2} \right]^5 \left(\left(\frac{H_i - H_{i-1}}{\Delta x} \right)^2 + \left(\frac{H_{i-1,j+1} - H_{i-1,j-1} + H_{i,j+1} - H_{i,j-1}}{4\Delta y} \right)^2 \right) \left(\frac{H_i - H_{i-1}}{\Delta x} \right) \end{cases}$$

$$\begin{cases} q_{y_{j+\frac{1}{2}}} = C_{i,j} \left[\frac{H_j + H_{j+1}}{2} \right]^5 \left(\left(\frac{H_{j+1} - H_j}{\Delta y} \right)^2 + \left(\frac{H_{i+1,j} - H_{i-1,j} + H_{i+1,j+1} - H_{i-1,j+1}}{4\Delta x} \right)^2 \right) \left(\frac{H_{j+1} - H_j}{\Delta y} \right) \\ q_{y_{j-\frac{1}{2}}} = C_{i,j} \left[\frac{H_{j-1} + H_j}{2} \right]^5 \left(\left(\frac{H_j - H_{j-1}}{\Delta y} \right)^2 + \left(\frac{H_{i+1,j-1} - H_{i-1,j-1} + H_{i+1,j} - H_{i-1,j}}{4\Delta x} \right)^2 \right) \left(\frac{H_j - H_{j-1}}{\Delta y} \right) \end{cases}$$

Modélisation d'écoulements glaciaires

– Simulation Matlab



Hauteur de glace sur 1000 ans, : [Lavé,Zakari CRPG]

Écoulements diphasiques en milieux poreux fracturés

– Equations du modèle : Darcy + lois de conservations

- Pression:

$$\nabla \cdot (-\lambda_T \nabla P) = \frac{q_w}{\rho_w} + \frac{q_o}{\rho_o} \quad \lambda_T = \lambda_w + \lambda_o$$

- Saturation en eau

$$\Phi \frac{\partial S_w}{\partial t} + \nabla \cdot \left(\frac{\lambda_w}{\lambda_T} \nabla P \right) = \frac{q_w}{\rho_w}$$

– Avec :

- w l'eau et o l'huile
- S_w la saturation en eau
- Φ La porosité
- P la pression
- λ_T la mobilité totale
- ρ la masse volumique
- q les termes d'injection/aspiration

Écoulements diphasiques en milieux poreux fracturés

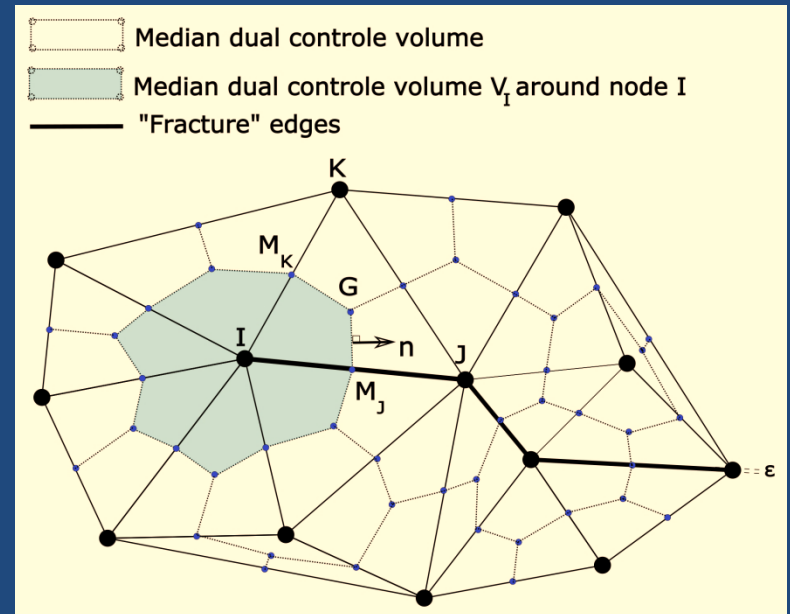
– **Discrétisation : Volumes-Finis** centrés aux nœuds, Explicite en

$$\sum_{IJK \in \Omega_m} \left[-|M_{JG}| \lambda_T(S_{w,M_{JG}}) \sum_{j=1}^3 P_j \nabla \Phi_j \cdot \mathbf{n}_{M_{JG}} - |M_{KG}| \lambda_T(S_{w,M_{KG}}) \sum_{j=1}^3 P_j \nabla \Phi_j \cdot \mathbf{n}_{M_{KG}} \right] + \sum_{IJ \in \Omega_f} \left[-0.5\varepsilon (\lambda_T(S_{w,J}) - \lambda_T(S_{w,I})) \frac{P_J - P_I}{IJ} \right] = q_I A_I$$

$$\nabla \cdot (-\lambda_T \nabla P) = \frac{q_w}{\rho_w} + \frac{q_o}{\rho_o} \quad \lambda_T = \lambda_w + \lambda_o$$

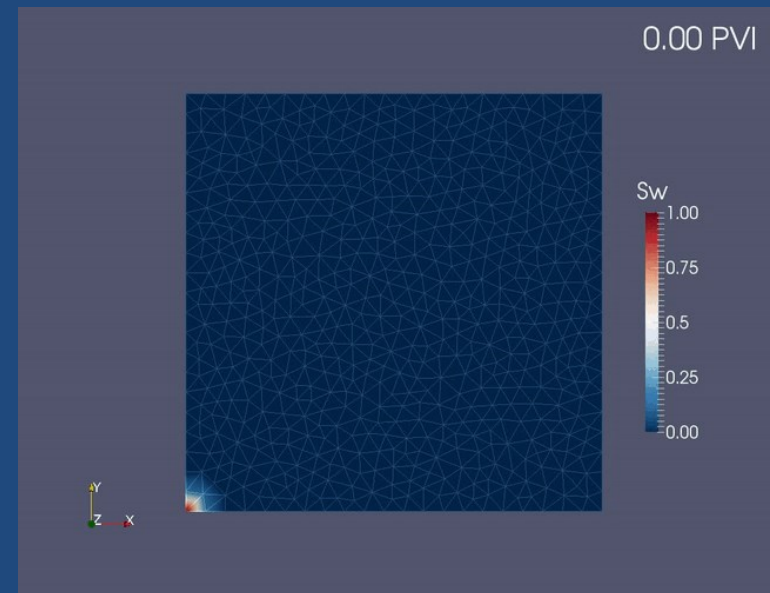
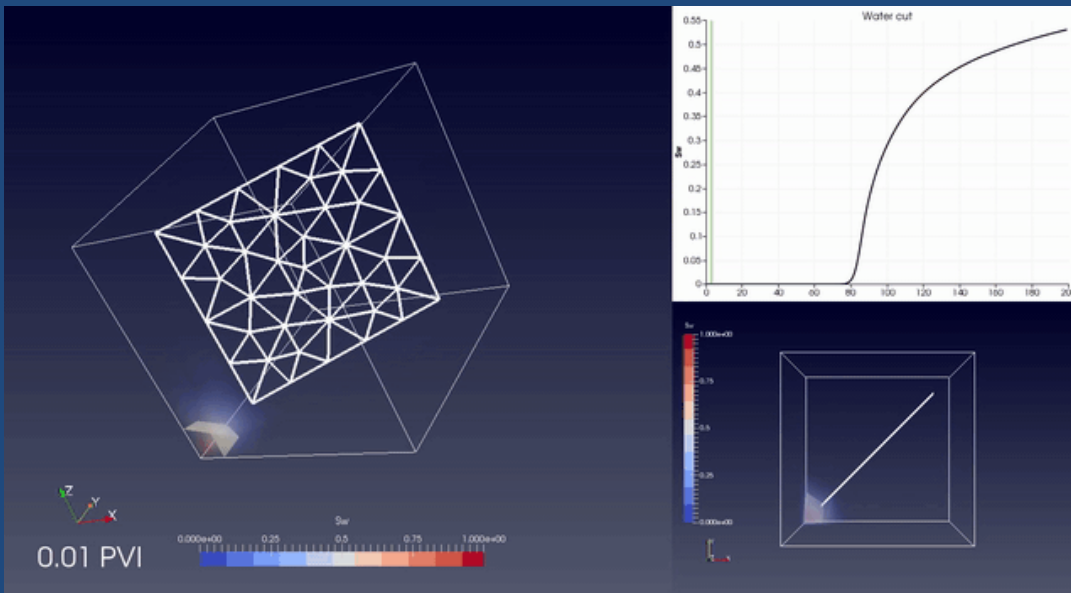
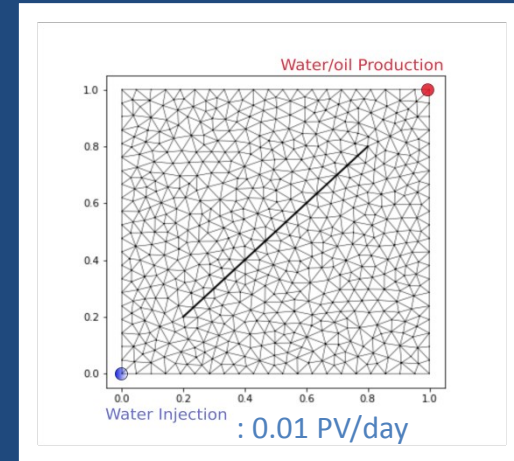
$$S_{w,I}^{t+\Delta t} = S_{w,I}^t + \frac{\Delta t}{A_{porI}} \sum_{IJK \in \Omega_m} \left[f_w(S_{w,M_{JG}}^{up}) |M_{JG}| \lambda_T(S_{w,M_{JG}}) \sum_{j=1}^3 P_j \nabla \Phi_j \cdot \mathbf{n}_{M_{JG}} \right] + \frac{\Delta t}{A_{porI}} \sum_{IJK \in \Omega_m} \left[f_w(S_{w,M_{KG}}^{up}) |M_{KG}| \lambda_T(S_{w,M_{KG}}) \sum_{j=1}^3 P_j \nabla \Phi_j \cdot \mathbf{n}_{M_{KG}} \right] + \frac{\Delta t}{A_{porI}} \sum_{IJ \in \Omega_f} \left[0.5\varepsilon f_w(S_{w,IJ}^{up}) (\lambda_T(S_{w,J}) - \lambda_T(S_{w,I})) \frac{P_J - P_I}{IJ} \right] + \frac{\Delta t}{A_{porI}} (max(q_I, 0) + f_w min(q_I, 0)) A_I$$

$$\Phi \frac{\partial S_w}{\partial t} + \nabla \cdot \left(\frac{\lambda_w}{\lambda_T} \nabla P \right) = \frac{q_w}{\rho_w}$$



Écoulements diphasiques en milieux poreux fracturés

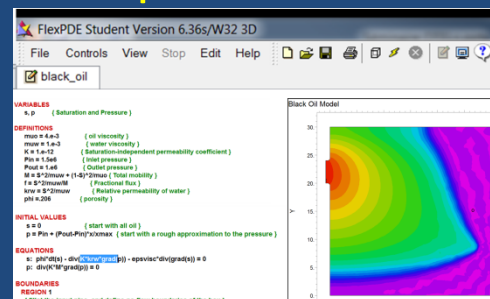
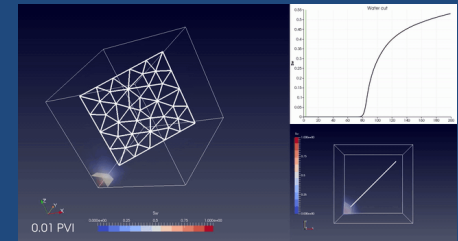
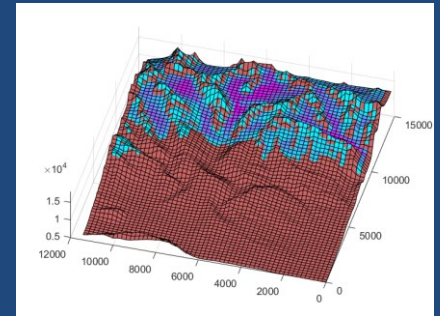
— Résultats 2D et 3D : Saturation en eau



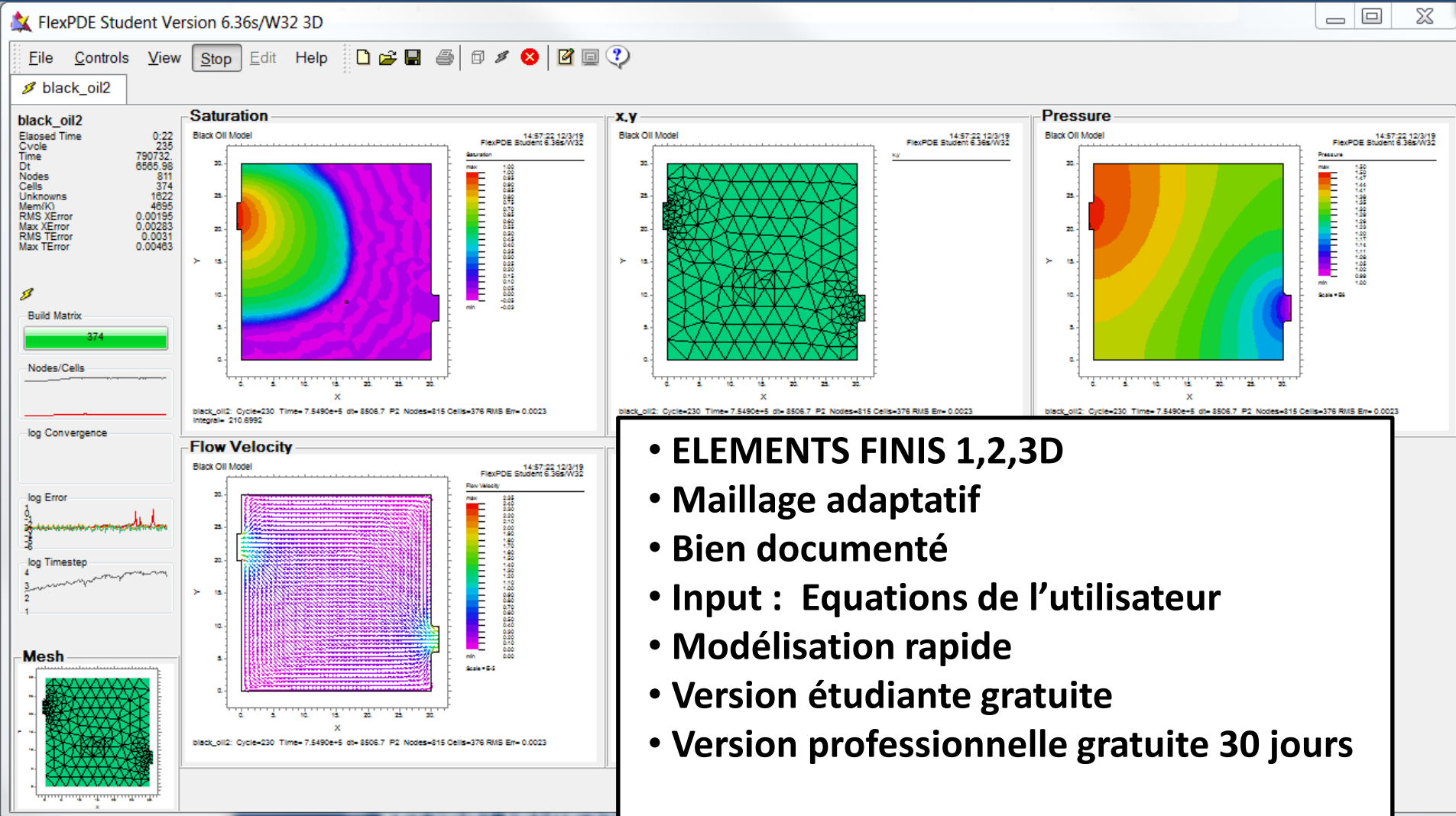
Modélisation d'écoulements

Extrapolations

- Ecoulements glaciaires
 - Equation du modèle
 - Discrétisation
 - Premiers Résultats
- Ecoulements diphasiques en milieux poreux fracturés
 - Equations du modèle
 - Discrétisation
 - Premiers Résultats
- **Connaissant les équations d'un modèle peut-on ?**
 - **Eviter de discrétiser ?**
 - **Eviter de tout coder ?**
 - **Ecoulements avec FlexPDE**



FlexPDE



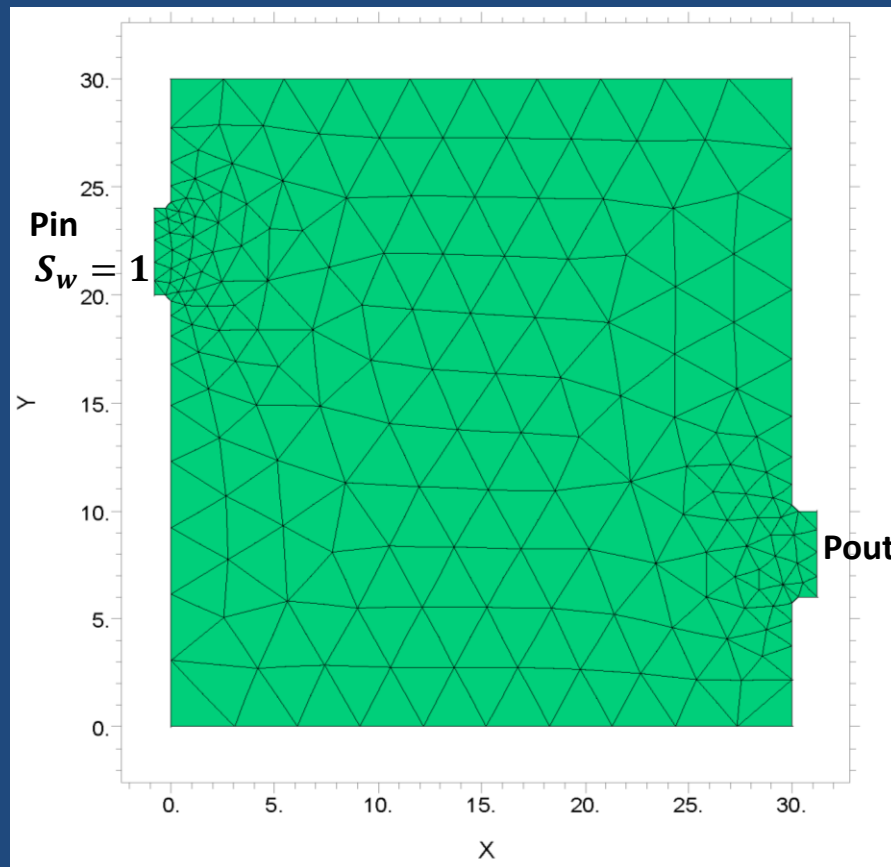
- **ELEMENTS FINIS 1,2,3D**
- **Maillage adaptatif**
- **Bien documenté**
- **Input : Equations de l'utilisateur**
- **Modélisation rapide**
- **Version étudiante gratuite**
- **Version professionnelle gratuite 30 jours**

Ecoulements avec FlexPDE

Exemple : Black Oil - Equations

$$\Phi \frac{\partial S_w}{\partial t} + \nabla \cdot \left(\frac{\lambda_w}{\lambda_T} \nabla P \right) = 0$$

$$\nabla \cdot (-\lambda_T \nabla P) = 0 \quad \lambda_T = Kkr_w$$



Écoulements avec FlexPDE

Exemple : Black Oil – Script FlexPDE1

$$\Phi \frac{\partial S_w}{\partial t} + \nabla \cdot \left(\frac{\lambda_w}{\lambda_T} \nabla P \right) = 0$$

$$\nabla \cdot (-\lambda_T \nabla P) = 0 \quad \lambda_T = K k r_w$$

TITLE 'Black Oil Model'

VARIABLES

s, p {Saturation and Pressure}

DEFINITIONS

Pin = 1.5e6 { Inlet pressure }
 Pout = 1.e6 { Outlet pressure }
 phi = .206 { porosity }
 K = 1.e-12 { Saturation-independent permeability coefficient }
 krw = S^2/muw { Relative permeability of water }
 epsvisc = 1.e-6 { A little artificial diffusion 2 smooth the solution }
 sint = integral(s) { the total extraction integral }

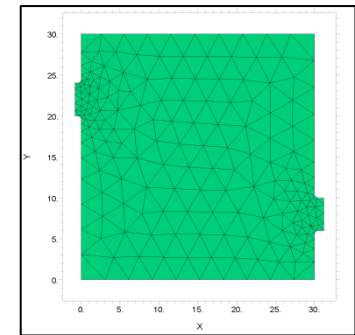
...

INITIAL VALUES

s = 0 { start with all oil }
 p = Pin + (Pout-Pin)*x/xmax { Initial Pressure approximation}

EQUATIONS

s: phi*dt(s) - div(K*krw*grad(p)) - epsvisc*div(grad(s)) = 0
 p: div(K*M*grad(p)) = 0



Écoulements avec FlexPDE

Exemple : Black Oil – Script FlexPDE2

BOUNDARIES

REGION 1

```
{ fillet the input pipe, and define no-flow boundaries of the box }
```

```
start(-2*rad,in_ctr-diam)
```

```
natural(p)=0 natural(s) = 0
```

```
line to (0,in_ctr-diam) bevel(rad)
```

```
line to (0,0) to (xmax,0) to (xmax,out_ctr-diam) bevel(rad)
```

```
line to (xmax+3*rad,out_ctr-diam)
```

```
{ set constant outlet pressure, and "tautological" saturation flux }
```

```
value(p) = Pout
```

```
natural(s) = -K*krw*dx(p)
```

```
line to (xmax+3*rad,out_ctr+diam)
```

```
{ reset no-flow box boundaries }
```

```
natural(p)=0 natural(s)=0
```

```
line to (xmax,out_ctr+diam) bevel(rad)
```

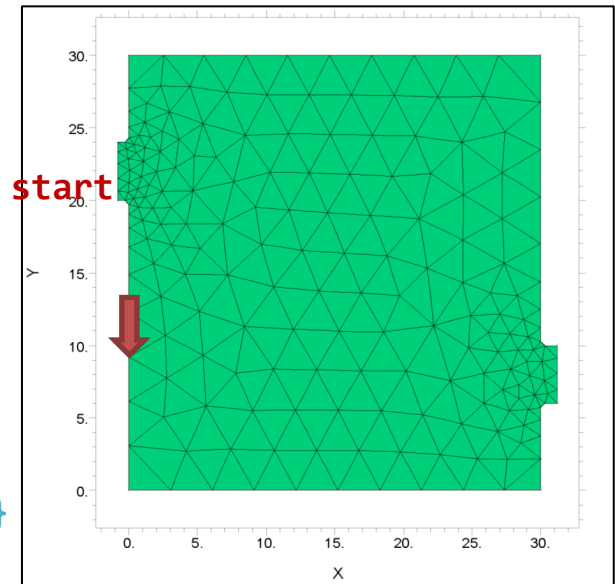
```
line to (xmax,ymax) to (0,ymax)  
to (0,in_ctr+diam) bevel(rad)
```

```
line to (-2*rad,in_ctr+diam)
```

```
{ set constant inlet pressure and saturation }
```

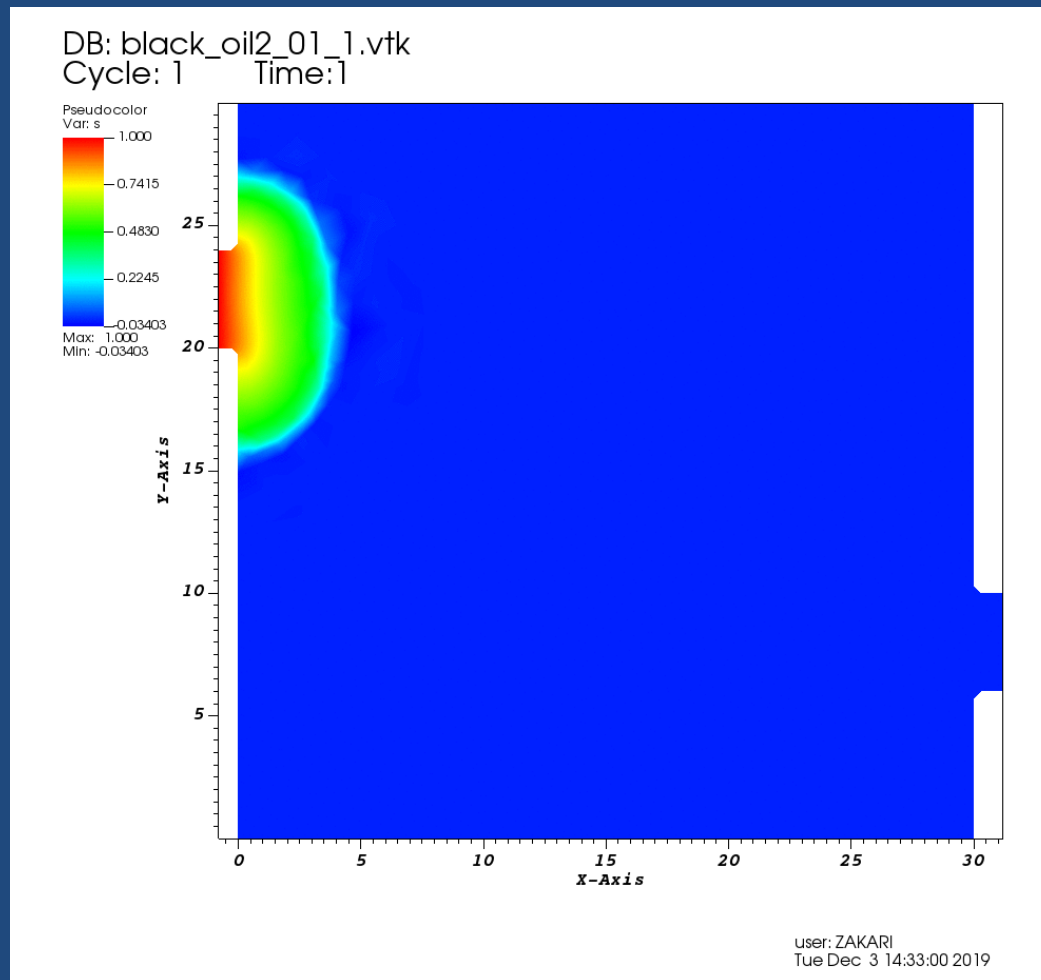
```
value(p) = Pin value(s) = 1
```

```
line to close
```



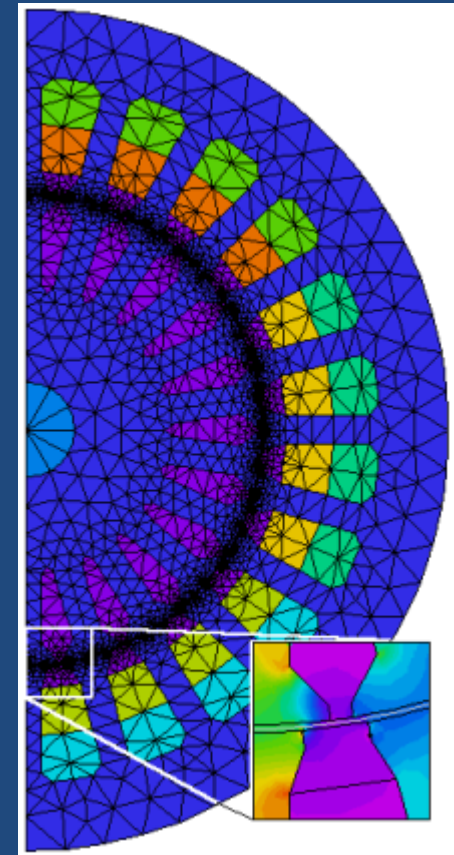
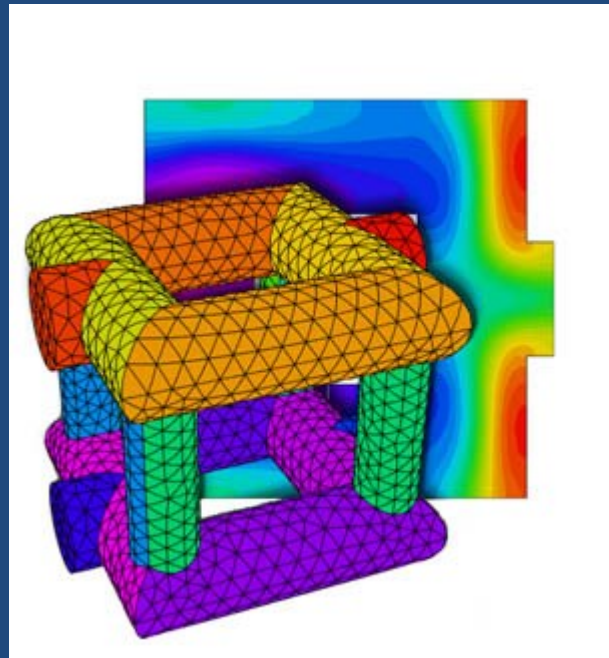
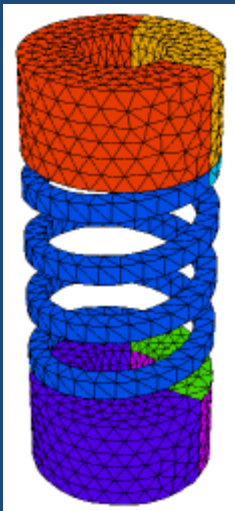
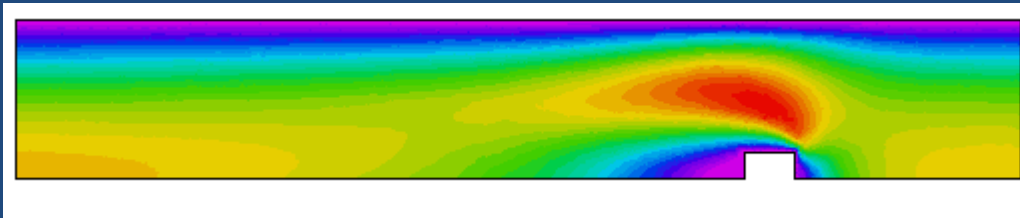
Ecoulements avec FlexPDE

Exemple : Black Oil - Résultats



Saturation en eau

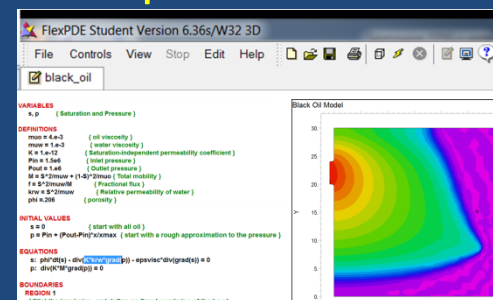
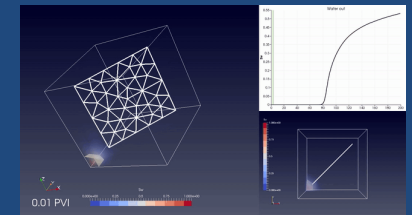
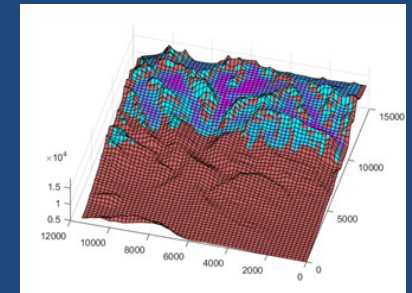
Autres modélisations FlexPDE



Modélisation d'écoulements

Extrapolations

- Ecoulements glaciaires
 - Equation du modèle
 - Discrétisation
 - Premiers Résultats
- Ecoulements diphasiques en milieux poreux fracturés
 - Equations du modèle
 - Discrétisation
 - Premiers Résultats
- **Connaissant les équations d'un modèle peut-on ? OUI**
 - ✓ **Eviter de discrétiser ?**
 - ✓ **Eviter de tout coder ?**
 - ✓ **Ecoulements avec FlexPDE**



Conclusion

- Calcul parallèle possible en python (**Multiprocessing**)
- Calcul parallèle possible en Matlab (**Parfor**)

- Modélisations Eléments-Finis réalisables avec **FlexPDE**
 - Sans discrétiser
 - Sans vraiment coder

Merci pour votre attention

